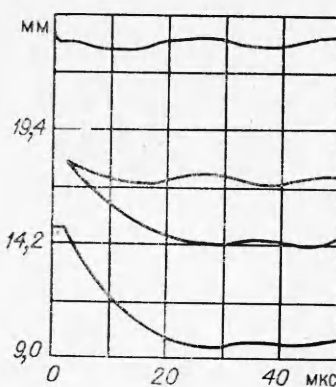


Фиг. 2



Фиг. 3

Кинетическая энергия оболочки достигает максимума через 4 мкс после начала движения, а через 35 мкс вся кинетическая энергия переходит в тепловую, практически равную полной энергии.

На фиг. 3 представлена  $r, t$ -диаграмма движения оболочки при нагружении зарядом ВВ толщиной 5 мм. Как видно из  $r, t$ -диаграммы, через 2,6 мкс на радиусе 18 мм образуется откол толщиной  $\sim 3$  мм, который сходится к центру, утолщаясь до  $\sim 4,7$  мм. Оставшаяся стенка оболочки практически не смещается, но колеблется вблизи начального положения. Повышение температуры в ударной волне также составляет  $\sim 35$  К, однако конечная температура несколько ниже ( $\sim 500$  К) по сравнению с предыдущим опытом вследствие меньшей начальной скорости движения оболочки.

Таким образом, предложенная модель позволяет качественно, а по некоторым параметрам и количественно описать процесс схождения цилиндрической оболочки. Некоторые расхождения с экспериментом (по толщине откола и отсутствию деформации наружной границы оболочки), по-видимому, могут быть устранены соответствующим выбором счетных параметров.

Поступила 15 IV 1983

#### ЛИТЕРАТУРА

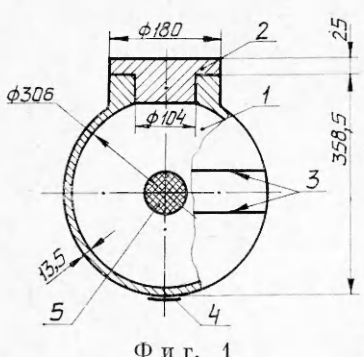
1. Матюшкин Н. И., Тришин Ю. А. О некоторых эффектах, возникающих при взрывном обжатии вязкой цилиндрической оболочки.— ПМТФ, 1978, № 3.
2. Иванов А. Г., Минеев В. Н., Тюнькин Е. С. Импульсное склонывание стальных цилиндрических оболочек.— Изв. АН СССР. МТТ, 1982, № 2.
3. Годунов С. К. Элементы механики сплошной среды. М.: Наука, 1978.
4. Годунов С. К., Козин Н. С., Роменский Е. И. Уравнение состояния упругой энергии металлов при нешаровом тензоре деформаций.— ПМТФ, 1974, № 2.
5. Годунов С. К., Денисенко В. В. и др. Применение релаксационной модели вязкоупругости при расчете одноосных однородных деформаций и уточнение интерполяционных формул максвелловской вязкости.— ПМТФ, 1979, № 5.
6. Иванов А. Г. Откол в квазиакустическом приближении.— ФГВ, 1975, № 3.

УДК 620.178.7

#### РАСЧЕТНО-ЭКСПЕРИМЕНТАЛЬНОЕ ИССЛЕДОВАНИЕ ДЕФОРМАЦИИ ОБОЛОЧЕК ВЗРЫВНЫХ КАМЕР

A. I. АБАКУМОВ, B. B. ЕГУНОВ, A. Г. ИВАНОВ,  
A. A. УЧАЕВ, B. И. ЦЫПКИН, A. T. ШИТОВ  
(Москва)

В экспериментальных исследованиях по импульсному нагружению взрывных камер отмечается явление циклического повышения амплитуд деформаций с течением времени [1, 2]. Это явление связано с взаимодействием некоторых изгибных форм колебаний камеры, называемых критическими, с мембранными формами, что приводит к неустойчивому состоянию, в результате которого наблюдается циклический процесс перекачки энергии мембранных форм в изгибные. Возбуждение изгибных форм колебаний во взрывной камере происходит за счет различного рода конструктивных элементов (патрубки, опорные плиты для приборов, сварные швы и т. д.), а также несовершенств в виде отклонений геометрических и механических характеристик.



Фиг. 1

В данной работе путем сравнения расчетных результатов с экспериментальными показано, что процесс циклического роста деформаций, наблюдаемый во взрывных камерах, может быть описан с помощью теории оболочек типа Тимошенко, учитывающей инерцию вращения и деформации попечного сдвига.

**1. Схема и результаты эксперимента.** Исследовалась деформация замкнутой сферической оболочки из стали 35 с внутренним радиусом 153 мм и толщиной 13,5 мм, заполненной воздухом при нормальных условиях, при взрыве внутри нее заряда взрывчатого вещества (ВВ).

Схема эксперимента и основные размеры реальной оболочки приведены на фиг. 1. Оболочка 1 герметизировалась жестко закрепленной пробкой 2 и подвешивалась за горловину через прокладку малой акустической жесткости и массы, исключавшей

влияние системы подвески на процесс динамического деформирования оболочки. Сферический заряд ВВ 5·ТГ-50/50 (50% — тротил, 50% — гексоген, плотность  $1,65 \text{ г}/\text{см}^3$ ) массой  $80+0,5 \text{ г}$ , располагаемый в центре оболочки, инициировался из центра. Возможное отклонение центра заряда от геометрического центра оболочки не превышало 2 мм. Деформация оболочки во времени  $\varepsilon(t)$  в области экватора и полюса регистрировалась методом тензометрии. В области экватора измерялась средняя осесимметричная деформация оболочки двумя кольцевыми проволочными датчиками 3 [3]. В области полюса регистрировалась локальная деформация на базе 20 мм двумя симметрично расположенным тензодатчиками 4. Центры датчиков отстояли от полюсной точки на 10 мм. В качестве регистраторов использовались осциллографы С1-18. Максимальная длительность процесса регистрации составляла 2 мс. Максимальная погрешность определения деформации не превышала 10%, а временных интервалов — 5%.

Результаты двух идентичных опытов приведены в таблице, где  $\varepsilon_1$  и  $t_1$  — соответственно деформация в первом максимуме и время ее достижения, отсчитываемое от начала деформации оболочки,  $\varepsilon_{\max}$  и  $t_{\max}$  — максимальная деформация и время ее достижения. Экспериментальные зависимости  $\varepsilon(t)$  в области экватора и полюса, полученные усреднением двух опытов, приведены на фиг. 2 (сплошные кривые).

Анализ результатов эксперимента показал следующее:

- 1) средняя кольцевая деформация оболочки в экваториальной области и локальная деформация в области полюса совпадают в течение первого полупериода колебаний;
- 2) максимальное значение средней кольцевой деформации в экваториальной области реализуется в течение первого полупериода колебаний (см. фиг. 2), а максимальное значение локальной деформации в полюсе достигается после нескольких периодов колебаний, т. е. наблюдается явление «раскачки», зарегистрированное в [1].

**2. Методика и результаты расчетов.** Задача по определению деформированного состояния оболочки решалась в два этапа.

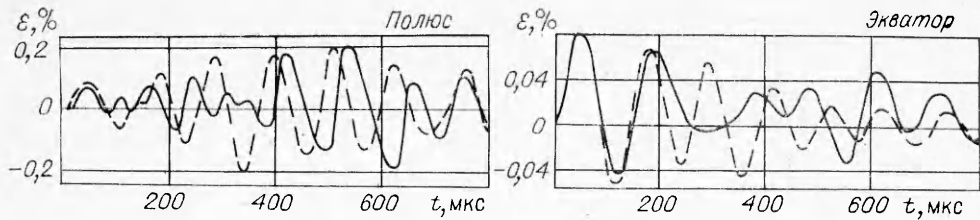
На первом этапе определялся профиль давления  $P = P(t)$ , действующего на внутреннюю поверхность оболочки. Зависимость  $P(t)$  определялась путем численного решения на ЭВМ БЭСМ-6 системы одномерных уравнений газодинамики в сферической геометрии с граничным условием «жесткая стена». Уравнение состояния продуктов взрыва было взято в виде [4], уравнение состояния воздуха взято из [5]. Использовалась разностная методика счета, описанная в [6, 7] (для расчета состояний на фронте ударной волны используются точные аналитические соотношения Гюгонио).

На втором этапе полученная расчетная зависимость  $P = P(t)$  (фиг. 3) использовалась для описания динамического процесса упругопластического деформирования оболочки (модуль Юнга — 210 ГПа, динамический предел текучести — 0,5 ГПа). Определение напряженного-деформированного состояния оболочки производилось с помощью методики [8], в основу которой положены уравнения теории оболочек типа Тимошенко и физические соотношения дифференциальной теории пластичности с линейным кинематическим упрочнением.

Уравнения движения, полученные из принципа возможных перемещений, имеют вид

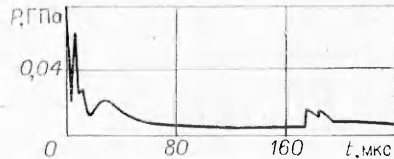
$$\frac{1}{r} \frac{\partial}{\partial s} [r(N_1 m + Qn)] + P_z = \rho h \ddot{z},$$

Номер опыта	$\varepsilon_1, \%$		$t_1, \text{ мкс}$		$\varepsilon_{\max}, \%$		$t_{\max}, \text{ мкс}$	
	Экватор	Полюс	Экватор	Полюс	Экватор	Полюс	Экватор	Полюс
1	0,09	0,08	55	52	0,09	0,23	55	560
2	0,08	0,08	50	50	0,08	0,22	50	540



Ф и г. 2

Ф и г. 3

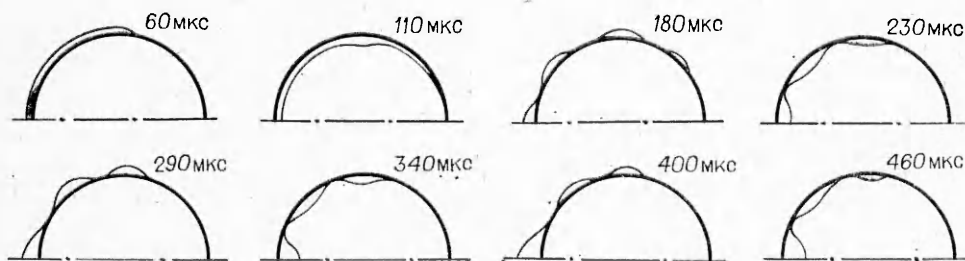


$$\frac{1}{r} \frac{\partial}{\partial s} [r(N_1 n - Qm)] - \frac{N_2}{r} + P_r = \rho h \ddot{r}, \quad \frac{1}{r} \frac{\partial}{\partial s} (r M_1) - \frac{M_2}{r} n - Q = \frac{\rho h^3}{12} \ddot{\varphi},$$

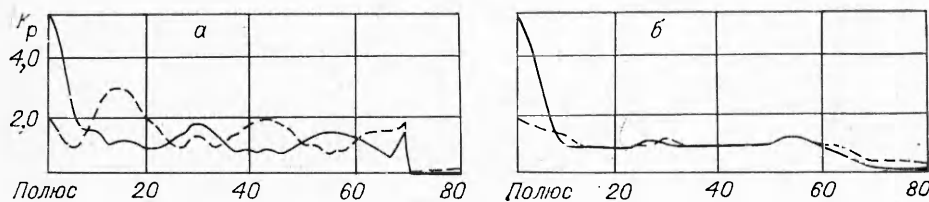
где  $N_i$ ,  $M_i$  ( $i = 1, 2$ ),  $Q$  — усилия, моменты и перерезывающая сила;  $h$  — толщина;  $\rho$  — плотность материала оболочки;  $P_z$ ,  $P_r$  — проекции интенсивности внешней нагрузки на соответствующие оси координат ( $z$ ,  $r$ );  $\varphi$  — угол поворота сечения;  $n$ ,  $m$  — направляющие косинусы внешней нормали к поверхности оболочки.

Система уравнений движения при нулевых начальных условиях интегрировалась по времени методом конечных разностей по явной схеме «крест». Шаг по времени определялся из необходимого условия локальной устойчивости схемы  $\Delta t \leq \frac{\Delta \varepsilon_{\min}}{c}$ . В силу симметрии рассматривается половина оболочки, срединная поверхность которой вдоль меридиана разбивается рядом узлов ( $j = 0, 100$ ). В методике [8] большие прогибы учитываются путем пошаговой перестройки геометрии оболочки.

Сравнивая экспериментальные и расчетные (штриховые кривые на фиг. 2) деформации в полюсной и экваториальной областях, следует отметить хорошее согласие как по величине амплитуды на первом периоде колебаний, так и по степени их циклического роста в течение всего рассматриваемого процесса. Некоторое отличие, связанное с изменением периода колебаний в эксперименте, объясняется использованием идеализированной расчетной схемы, в которой не учитываются реально существующие несовершенства, в частности отклонения от номинальных размеров и механических характеристик. Эти несовершенства, так же как и присоединенная масса, приводят в процессе колебаний к возбуждению спектра изгибных форм. Как показывают расчеты, для достаточно толстых оболочек ( $h/R > 1/20$ ) влияние присоединенных масс намного



Ф и г. 4



Ф и г. 5

существенное влияние указанных выше несовершенств. Это позволяет при расчетах таких камер пренебречь учетом несовершенств и получить результаты, сравнимые с экспериментом.

Возбуждение изгибных форм на различные от начала деформации моменты времени в рассматриваемой оболочке показано на фиг. 4. Здесь виден процесс распространения изгибных форм меридиана полуболочки и рост их амплитуд с течением времени (полюс — слева, начальное положение нанесено жирной линией).

Для удобства отношение максимально достигаемой величины деформации в конкретной точке (сеточной ячейке) оболочки к амплитуде первого периода колебаний полюсной точки будем называть коэффициентом раскачки оболочки в этой точке  $K_p$ . На фиг. 5 приведено распределение  $K_p$  по меридиану полуболочки на ее наружной (штриховые кривые) и внутренней поверхностях как для меридиональных (а), так и для кольцевых (б) деформаций. Из фиг. 5 видно существенное отличие в распределении  $K_p$  на наружной и внутренней поверхностях оболочки. При этом наибольшее значение достигается на внутренней поверхности оболочки вблизи полюса.

Сравнение результатов расчета с экспериментом по наиболее важным характеристикам реакции взрывных камер на действующую нагрузку позволяет заключить, что применяемая в расчетах модель теории оболочек типа Тимошенко, достаточно хорошо описывает как качественную, так и количественную сторону явления циклического роста амплитуд деформаций, происходящего в этих камерах при взрывном нагружении.

Величина циклического роста амплитуд деформаций наблюдается в локальных областях камеры и может достигать больших величин, поэтому рассматриваемое явление необходимо учитывать при проектировании и отработке взрывных камер.

Поступила 29 IV 1983

#### ЛИТЕРАТУРА

1. Бузуков А. А. Особенности поведения стенок взрывных камер под действием импульсной нагрузки. — ФГВ, 1976, № 4.
2. Корнев М. В., Адищев В. В. и др. Экспериментальное исследование и анализ колебаний оболочки взрывной камеры. — ФГВ, 1979, № 6.
3. Шитов А. Т., Минчев В. Н. и др. Проволочный датчик для непрерывной регистрации больших деформаций при динамическом нагружении конструкций. — ФГВ, 1977, № 2.
4. Зубарев В. И., Телегин Г. С., Жерноклетов М. В. Изэнтропы расширения продуктов взрыва конденсированных ВВ. — ПМТФ, 1969, № 4.
5. Кузнецов И. М. Термодинамические функции и ударные адабаты воздуха при высоких температурах. М.: Машиностроение, 1965.
6. Куропатенко В. Ф. Метод построения разностных схем численного интегрирования уравнений газодинамики. — Изв. вузов. Математика, 1962, № 3(28).
7. Куропатенко В. Ф. О разностных схемах численного интегрирования уравнений газодинамики. — Тр. Мат. ин-та АН СССР, 1966, № 74.
8. Баженов В. Г., Ломунов В. К. Исследование упругопластического выпучивания оболочек вращения при ударном нагружении. — В кн.: Прикладные проблемы прочности и пластичности. Вып. 2 (Всесоюз. межвуз. сб. Горьк. ун-та), 1975.

УДК 539.375

#### О ПОЛЮС-ВЕЕРНЫХ ДИАГРАММАХ СЛОЖНОГО РАЗРУШЕНИЯ

Ю. И. ФАДЕЕНКО

(Киев)

В кинетической теории разрушения зависимость долговечности твердого тела  $\tau$  от приложенного напряжения  $\sigma$  описывается формулой, типичной для термоактивируемых процессов:

$$(1) \quad \tau = \tau_0 \exp \{ (u - \gamma \sigma) / kT \},$$

где  $\tau_0$  — период определяющей моды тепловых колебаний; экспоненциальный множитель есть величина, обратная вероятности элементарного акта разрушения (преодоления активационного барьера) за один период колебаний;  $u$  — энергия активации;  $\gamma$  — активационный объем.

Цель данной работы — обратить внимание на то, что по виду экспериментальных зависимостей  $\tau(\sigma)$  можно судить, какое количество элементарных механизмов разрушения давало существенный вклад в долговечность твердого тела. Для этого следует воспользоваться так называемой техникой полюс-веерных диаграмм.

Из (1) следует, что семейство изотерм  $\tau(\sigma)$  образует на плоскости  $(\sigma, \ln \tau)$  веер прямолинейных лучей, исходящих из полюса с координатами  $(u/\gamma, \ln \tau_0)$ . Если одновременно работают два различных механизма разрушения, то на диаграмме присутствуют два различных веера изотерм, и результирующие изотермы будут иметь форму